

# ANEXO 3:

EL SISMO DE GUAYAQUIL DE 1942. EVIDENCIAS RECIENTES
PONENCIA PUBLICADA EN LAS IX JORNADAS DE
INGENIERIA ESTRUCTURAL Y SISMORESISTENTE EN LA ESPE,
QUITO - ECUADOR
MAYO 1995

# EL SISMO DE GUAYAQUIL DE 1942, EVIDENCIAS RECIENTES.

VILLACRES Alex, <u>Ing.</u>
Universidad Catófica de Santiago de Guayaquil
Facultad de Ingenierla Instituto de Investigaciones (IH/IUC)
Guayaquil - Ecuador

# INTRODUCCION. DESCRIPCION DEL SISMO DE 1942 EN GUAYAQUIL.

El 13 de Mayo de 1942 un sismo de magnitud 7 9 Ms (7 0 Mb) afectó la costa del Pacifico en el Ecuador, causando dafíos a la ciudad de Guayaquil y otros lugares en la costa ecuatoriana. Las intensidades alcanzaron un valor de IX en la escala de Mercalli en la zona epicentral y el epicentro del sismo, determinado de los catálogos sísmicos (ref 1.), se presenta en el gráfico No 1.

Es notorio que aunque la intensidad alcanzó en general valores de grado VI o menores en la provincia del Guayas (Yaguachi y Milagro, por ejemplo), en la ciudad de Guayaquil se registraron intensidades de VIII y IX en la escala de Mercalli, lo que evidencia que en Guayaquil se produjo un efecto local del suelo que ocasionó que el sismo afectara a las estructuras de la ciudad mas allá de lo que debió corresponder al daño normal de un evento que tuvo epicentro a 250 kilometros de la misma.

Aunque la intensidad del evento en Guayaquil fue asignada como IX en la escala de Mercalli, el colapso de las estructuras ocurrió sólo en una pequeña zona dentro de la ciudad, el centro comercial. En la escala de Mercalli, la intensidad IX corresponde precisamente al colapso estructural, por lo tanto se debe aceptar que las restantes zonas de la ciudad sufrieron daños correspondientes a intensidades menores o iguales a VIII.

El Dr. Amaldo Rufilli, en su descripción de los efectos del sismo (ref 2.), identifica a la zona donde ocurrieron los mayores daños como Illa zona, dandole los siguientes límites aproximados

- Por el norte: calles Aguirre, José de Antepara, Quinquis y Junin.
- Por el sur: calle Colón.
- Por el ester calle Pedro Carbo.
- Por el oeste, estero Salado.

Los suelos de la zona son descritos por el mismo autor de la siguiente forma.

"Aqui el terreno está constitudo por arcilla amarilla o parda, muy empapada de agua y siempre sumergida bajo el nivel de las aguas freáticas. Esta arcilla está recubierta por un metro o dos, cuando más, de tierra vegetal y materiales de relleno."

El tipo estructural de los edificios afectados fue el de estructuras de pórticos en hormigón armado y solamente sufrieron fuertes daños o colapsaron edificios entre 3 y 5 pisos de altura. Rufilla describe así los daños que se verificaron en la zona en estudio:

"En un pequeño sector que comprende seis manzanax, puesto al límite norte, hubieron de desocupar cinco edificios modernos e importantes, de un total de nueve. Y los otro cuatro no quedaron tampoco indemnes. En este mismo sector, tres edificios modernos presentaban un desplome evidente, y otros tres tenían los pilores de la estructura de la planta baja tan afectados, que además de la evacuación, se tuvo que ordenar el inmediato apuntalamiento hasta que se dictaminara sobre su reparación o su demolición... En esta zona se verificó también el derrumbe total de un edificio de mampostería y hormigón armado y el derrumbe casi total de otro edificio del mismo tipo. Estos dos edificios surgiam a poca distancia uno del otro, y estaban construidos en terrenos que responden perfectamente al que se describió para esta zona. Los edificios vecinos tuvieron escasos daños. Una de las dos casas destruídas pertenecía a la época de máxima competencia comercial, y el otro era más antiguo y se había edificado en dos períodos sucesivos. La parte correspondiente al segundo período fue la que se derrumbó; la más antigua quedó en condiciones de evidente peligro y fue demolida."

Este autor identifica entre los factores de vulnerabilidad estructural algunos de tipo mas bien social, tales como la mala práctica constructiva que imperaba en la ciudad de Guayaquil en lo que respecta a la construcción de edificios en hornigón armado, debido sobre todo a la escasez de profesionales debidamente calificados para desarrollar esa actividad y a la competencia que muchos aprendices y maestros de obra planteaban a la escasa práctica profesional existente por razones de orden económico

Entre los factores estructurales de vulnerabilidad que Rufilli anota tenemos los siguientes:

- La pobreza de las cimentaciones, muchas veces de plintos aislados sin pilotes, consecuencia de un desconocimiento o mala estimación de la resistencia de los suelos suaves de la zona
- La práctica común en Guayaquil de utilizar niveles de planta baja con alturas de más de 4.0 metros. En esa época ello se hacia debido a que las normas del cabildo así lo imponian. La diferencia de rigidez entre el piso inferior y los pisos superiores era así notoria. Los daños en las columnas de planta baja ocurrieron preferentemente en los extremos superiores de las mismas. La permanencia de esta práctica constructiva en Guayaquil se puede apreciar en las edificaciones actuales (ver gráfico No 2.).
- La posible rotación o desplazamiento de las columnas en el nivel basal, lo cual contribuyó a aumentar el daño en las columnas esbeltas de la planta baja
- La ausencia de paredes en fachadas frontales de la planta baja, que por lo general, como hoy, em usada con fines comerciales o de almacenamiento de productos (ver gráfico No 3) y por lo tanto requerían de grandes boquetes o puertas que restaban rigidez a la estructura en este nivel.

Sin embargo, estos factores de vulnerabilidad cran comunes a todas las zonas de la ciudad donde se desarrollaba actividad de tipo comercial y no eran exclusivas de las edificaciones de la Illa zona, donde, a diferencia de las otras zonas de la ciudad, los daños fueron "más espectaculares" según la expresión usada por el mismo Dr. Rufilli para describirlos

Los daños en la IIIa zona parecen más consecuencia de un fenómeno de resonancia ingenieril debido al comportamiento selectivo de los efectos (edificios de pórticos en hormigón armado, de entre 3 y 5 niveles) y a que edificaciones de otro tipo resultaron evidentemente con menores lesiones que las colapsadas o desplomadas

Ningún registro de aceleraciones del suelo, debidos a sismos, habla sido obtenido en la zona central de Guayaquil hasta la instalación de la Red Nacional de Acelerógrafos (RNA, 1989, ref 3.). Un evento de magnitud 5.8 Ms con epicentro cercano al de 1942 y una profundidad similar ocurrió el 1 de Septiembre de 1990 y los acelerogramas registrados en Guayaquil, junto a estudios geológicos y sismológicos actuales servirán al propósito de establecer evidencias de que un efecto local del suelo causó la resonancia estructural y el colapso de estos edificios durante el sismo de 1942 en la zona comercial de Guayaquil.

# INVESTIGACIONES RECIENTES.

Durante 1992, un grupo de estudiantes de la Universidad Católica de Guayaquil, dirigidos por el profesor Ing. Agustin Serrano (Mandueña Lorena et al., ref. 4.), realizó la labor de recopilar la información disponible de numerosas perforaciones y perfiles estratigráficos del subsuelo en el casco comercial de Guayaquil, con el fin de realizar la microzonificación sismuca de los suelos de la cuidad. La ubicación de dos de los perfiles logrados en la IIIa zona por dicho grupo (perfiles 47-52 y 46-51) se presentan en el gráfico No 4, superponiendolos a los limites de la mencionada zona. Los gráficos No 5 (perfil 47-52) y No 6 (perfil 46-51) son representativos de la estratigrafía de la zona.

Las aceleraciones en el suelo suave de la ciudad debidas al sismo del 1 de Septiembre de 1990 fueron registradas en la estación acelerográfica de Avenida del Ejercho y Alejo Lascano, cuya ubicación exacta se muestra tambien en el gráfico No 4 junto a la ubicación del perfil estratigráfico 70-73 (gráfico No 7), correspondiente al sector de la estación. Además, se muestra un perfil, tambien fuera de la Illa zona, que es representativo del sector entre dicha zona y las estribaciones de los cerros de Santa Ana y del Carmen (perfil 2-5-41, gráfico No 8).

El análisis de estos acelerogramas fue realizado durante 1993 por el autor (ref 5.) y presentados en las VII jornadas de Ingeniería Estructural de Machala. En dicho análisis el desplazamiento del suclo se logró por integración de la señal de aceleración. Los espectros de Fourier de la aceleración se obtuvieron por el método de la Transformada Rapida de Fourier (FFT) y ambos análisis se resumen en el gráfico No 9. Los espectros de respuesta de un sistema de un grado de libertad con amortiguamiento del 5% fueron tambien obtenido en base a los acelerogramas y se muestran en el gráfico No 10.

El conocimiento actual del suelo en el centro comercial de Guayaqual fué usado para modelar la transmisión de ondas sísmicas desde el basamento finne de la cuidad hasta la superficie (Argudo Jaime, Yela Rommel, ref. 6.). Los acelerogramas registrados en el sismo de TAFT S69E fueron usados por dichos autores para calibrar el modelo introduciendo señales generadas artificialmente a partir de dichos acelerogramas—en el basamento finne y usando un modelo de capas múltiples se simuló la transmisión de las ondas hasta la superficie, 60 metros arriba, con el fin de estimar el coeficiente de amplificación de la aceleración del suelo entre el basamento y la superficie

Los resultados obtenidos por Argudo y Yela en el suelo suave del centro comercial de la ciudad de Guayaqual ante la incidencia de ondas procedentes de fuentes lejanas. (> 200 Km) son los siguientes:

- a.) Respuesta del suelo casi elástica, dominada por periodos dentro del rango 0.74 < Ts < 0.9 seg y con factores de amplificación comprendidos entre 2.5 < As/Ab < 4.0 para niveles de aceleración en roca menores a 5%g
- b) Comportamiento inclástico del suelo, dominado por periodos dentro del rango 0.9 < Ts < 1.1 seg y con factores de amplificación comprendidos entre 1.5 < As/Ab < 2.5 para niveles de necleración en roca de entre el 5%g y el 15%g.</p>

# AMENAZA SISMICA ACTUAL DEL AREA DEL SISMO DE 1942 PARA GUAYAQUIL.

El estudio de las referencias sobre sismicidad regional y mundial indican que existe una relación entre el número de eventos con magnitud, propuesta en 1944 por Richter-Gutenberg. Dicha relación es:

$$\log N(M) = a - bM$$

Donde: N(M) = número de sismos annales de magnitud mayor o igual a la magnitud M

Las constantes a y b definen la sismicidad del area en catadio

La distribución de probabilidades de ocurrencia de sismos con magnitud menor o igual a un cierto valor puede ser definida estudiando los valores máximos anuales en el area sísmica escogida como pertenecientes a una distribución de valores extremos de Gumbel tipo L definida por

$$G(M) = Exp[-\alpha Exp(-\beta M)]$$
  $\alpha,\beta$  constantes  $M$  magnitud

o 
$$G(M) = Exp[-Exp(-\beta(M-u))]$$

Donde  $u = moda de la distribución y <math>\beta u = \ln \alpha$ 

La relación entre los parámetros de la distribución de Gumbel I y los de la ley de Richter-Gutenberg está establecida como:

$$a = \log \alpha$$
  $b = \beta \log c$ 

En nuestro caso el area sismica de interés corresponde a aquella en la que probablemente ocurrirá un sismo de gran magnitud en los próximos años, fiente a las costas de Manabí o Esmeraldas J. Palacios (Ref. 7), expone dicha area como Area Fuente 1 en su estudio realizado para el CONUEP (Gráfico No 11). Otro estudio importante donde se definen los límites de dicha area fué realizado para la presa Daule Peripa (Ref. 8) y en dicho estudio la misma Area Fuente 1 se define según lo mostrado en el gráfico No 12.

Habiendo conformidad entre estos dos importantes estudios, se procedio a separar las máximos magnitudes Mb anuales ocurridas dentro de esta area en el intervalo de tiempo entre los años 1933-1987. Para ello se utilizó un programa de computadora especial (SISPACK) creado para el efecto y que

permite separar los eventos registrados en una determinada area, definida por el usuario, de un archivo de datos creado en base al "Catálogo de terremotos para América del Sur", editado por CERESIS en 1985, que proporciona la magnitud Mb de los sismos registrados instrumentalmente desde 1901 hasta 1981. Se usaron tambien otras fuentes que proporcionaron información adicional hasta 1987.

Posteriormente se procedió a separar las máximas magnitudes anuales registradas en el area en el periodo de 1933-1987 (ver tabla No 1) y a aplicar las estadísticas necesarias para estimar los parámetros α y β de la distribución de Gumbel tipo I y consecuentemente los parámetros a y b de la relación de Richter-Gutenberg. Todos estos valores corresponden a sismos superficiales (profundidades hipocentrales menores a 70 Km), como es de esperar en los sismos tectónicos de muestro país

TABLA No 1. Maximas magnitudes Mb anuales registradas en el area fuente 1. Periodo 1933-1987.

Año	Magnitud	Año	Magnitud	Año	Magnitud
1933	6.2	1963	4.6	1975	50
1937	6.4	1964	5.7	1976	6.0
1942	7 0	1965	4.6	1977	5.1
1943	6.2	1966	4.4	1978	4.7
1944	6.2	1967	4.6	1979	5.6
1956	6.5	1968	4.3	1980	4.1
1957	5.7	1969	4.3	1981	58
1958	6.7	1970	5.3	1983	6.2
1959	63	1971	4.6	1984	4.7
1960	6.2	1972	4.8	1985	5.0
1961	6.2	1973	4.9	1986	4.9
1962	6.2	1974	5.2	1987	4.0

Los paramétros obtenidos permiten establecer un modelo de distribución de probabilidades para los máximos eventos anuales esperados en el Area Fuente 1, dicho modelo es:

$$G(M) = P(Mb < -M) = \exp[-2517.95 \exp(-1.56 M)]$$

o, que es lo mismo,

$$G(M) = P(Mb \le M) = \exp[-\exp(-1.56 (M - 5.02))]$$

La ley de Richter-Gutenberg correspondiente es:

$$Log N(Mb) = 3.4 - 0.68 Mb$$

Estos parámetros han sido comparados con aquellos obtenidos para el area en otros estudios y se encontró que los valores son muy similares (tabla No 2.).

TABLA No 2. Valores comparativos de parametros de sismicidad regional por diversos autores. Distribución de Gambel I. Area fuente 1

Autor	α	β	а	l.	Estudio
Villacrès, Alex Area fuente 1 Prof < 70 Km 1933-1987	2518	1 56	3.40	0 678	presente articulo
Palacios, José Area fuente l Prof < 40 Km 1942-1983	2840	1.55	3.45	0 673	(ref 7)
Lara, Otón, et al. Presa Daule Peripa Prof < 70 Km 1952-1982 (30 años)	4365	1.61	3 64	0 699	(ref8)
La Tegola, Antonio Radio de 300 Km alrededor de Jaramijó Prof < 70 Km 1956-1980	3327	1,57	3.52	0 682	(ref 9)

La probabilidad anual de excedencia P de una magnitud dada M es-

$$P = P(Mb > = M) = 1 - G(M)$$

Dicho evento tiene un periodo de retorno T determinado por  $P=1/\Gamma$ 

Y la probabilidad anual de ocurrencia F es F=1 - P

La probabilidad de que una magnitud dada M sea excedida en taños es:

$$Pt = 1 - (1-P) = 1 - [1-(1/T)]$$

Por tanto, si se establece la probabilidad de que una cierta magnitud M sea excedida en t años como un cierto valor, determinado con criterios ingenienles, es posible estimar también el valor de la magnitud M y su correspondiente periodo de retorno.

Para poder comparar resultados con la predicción realizada por Stuart Nishenko, del National Earthquake Information Center (NEIC), según la cual la probabilidad de que un sismo superficial de gran magnitud (7 0<Ms<7 7) o de muy grande magnitud (Ms>=7.7), condicionado a que dicho evento no haya courrido antes de 1989, ocurra en el Area Fuente 1 durante el periodo de 1989-1999 está entre el 60%, y el 100% es necesario obtener primero una relación entre las escalas de magnitud Mb y Ms para la zona. Para lograrlo se han seleccionado 21 sismos de la tabla, que tienen ambas magnitudes reportadas y se ha realizado una prueba de correlación, Los datos utilizados, así como la recta encontrada, con coeficiente de correlación del 93%, se muestran en el gráfico No 13. La relación obtenida es:

$$Ms = 1.54Mb - 2.85$$

Si se procede ahora a establecer los valores para la predicción correspondientes al modelo establecido se obtienen los siguientes resultados:

$$Ms = 7.0$$
  $Mb = 6.4$   
 $G(M) = P(Mb <= 6.4) = exp \{-exp(-1.56(6.4 - 5.02))\} = 0.890$   
 $P = P(Mb >= 6.4) = 1 - G(M) = 1-0.890 = 0.109$   
 $T = 1/0.109 = 9.1 \text{ años}$ 

El catálogo demuestra que en el período de 54 años, entre 1933 y 1987 el evento con Mb>=6.4 ha ocurrido 6 veces, lo que corresponde a un período de retorno de 9 años. La última ocasión que se registró un sismo de esa magnitud en el area fué en Enero de 1958, hace 37 años.

La probabilidad de que una magnitud Mb. 6.4 sea excedida en 10 años es:

$$P10 = 1 - (1-0.109) = 0.69$$

Para el sismo con magnitud Ms>=7.7, los valores correspondientes son: Mb>=6 8, T>=17.7 años y P10 = 0.44. En el periodo de 1901 a 1987 se registraron cuatro veces este tipo de eventos en la zona (Enero de 1901, Enero de 1906, Mayo de 1942, Enero de 1958) lo que corresponde a un periodo de retorno de 21.5 años

Finalmente, con el fin de estudiar la Vulnerabilidad Sísmica de la ciudad, se ha elaborado la tabla No 3 donde, para diversas probabilidades de excedencia de la magnitud Mb en t=20 años (periodo 1987-2007), se presentan los valores de magnitud asociados así como sus respectivos periodos de retorno

TABLA No 3. Magnitudes Mb, Ms y periodo de retorno asociado T (en años). Area fuente 1. Periodo 1987-2007.

P20	60%	50%	40%	30%	20%
Mb	70	7.2	74	76	79
Ms	79	8 2	86	8.9	93
T	23	30	40	56	90

#### RESULTADOS Y CONCLUSIONES.

La amplificación basamento-superficie de las ondas sismicas evaluada por Argudo y Yela tiene valores de entre 1.5 y 4 y la estructura del suelo no afecta las frecuencias de la señal, cuyo contenido permanece prácticamente la misma en ambos medios de transmisión - el basamento y el suelo suave - mostrando que el principal efecto del suelo de Guayaquil en el centro comercial sobre las ondas sísmicas procedentes de epicentros muy lejanos (> 200 Km) es la amplificación de la aceleración y no la modificación del contenido de frecuencias, porque la corteza terrestre actúa como un filtro natural que concentra las bajas frecuencias durante la transmisión de las ondas desde el epicentro y causa que las altas frecuencias desaparezcan antes de alcanzar el basamento del suelo de Guayaquil.

La estratignatia del suelo de la ciudad en la IIIa zona de Rutilla aparece uniforme cuando se comparan perfiles estratignáticos cercanos a la estación acelengiática de Avenida del Ejercito, fuera de la IIIa zona , y los sectores de dicha zona , lo cual demuestra que el basamento rocoso es profundo en toda la ciudad (>60 m) y que el afloramiento de roca en el sector ceste de la zona (Estero Salado) ocurre muy abruptamente. Por lo tanto, los resultados obtenidos en cuanto a la transmisión de ondas del basamento a la superficie son aplicables a todo el sector de suelos suaves en la ciudad de Guayaquil.

Los inveles de aceleración en roca para el sismo de Mayo de 1942, de magnitud Ms=7.9 (Mb=7.0) ocurrido a 250 Km de distancia, son necesariamente bajos (Ag<5%g), pero el estudio de Argudo y Yela muestra que el suelo de la Illa zona tiene la capacidad de cuadruplicar la amplitud de la aceleración durante la transmisión de las ondas a la superficie, mantemendo sin embargo el contenido de frecuencias, que en este caso estuvo necesariamente en el rango de bajas frecuencias (menores a 6 Hz), sumamente dañinos para los edificios altos y cabeltos de la ciudad.

Existen por tanto fuertes evidencias de que el colapso y destrucción de edificios entre 3 y 5 niveles ocurrió debido a un muy severo fenómeno de resonancia ingenient porque el espectio de respuesta del modelo alcanza sas máximos valores en periodos entre 0.25 y 0.50 segundos (correspondientes al periodo natural de los edificios dañados). Adicionalmente se verifica que en las otras zonas del centro comercial de la ciudad no se produjeron colapsos ni daños del tipo que se produjeron en la IIIa zona debido seguramente a que los edificios altos en Guayaquil se encontraban en 1942 concentrados en la zona en que se sufrio el mayor daño.

Los valores hallados con el modelo de valores extremos de Gumbel I coinciden con los de la predicción de Stuart Nishenko (NEIC) y con la realidad sístima del area de estudio (Zona Sismica

Tectómica frente a las costas de Manabí y Esmeraldas). Los sismos de magnitud Ms>7.0 (Mb>6.4) no ocurren en la zona desde 1958, teniendo un periodo de retorno mucho menor a 37 años, lo que implica necesariamente un silencio sísmico preocupante

El uso del suelo en el area de Guayaquil más afectada durante el sismo de 1942 debe ser ampliamente revisado porque es elaro que los edificios con iguales características a aquellos dañados ese año serán severamente afectados en el caso que un evento similar o mas severo ocurriera. La probabilidad condicional de dicho evento es actualmente alta y seguramente que los edificios de 3 o más pisos, ubicados sobre el mismo suelo suave sin ninguna medida de prevención y construidos inmediatamente después del último sismo, en las decadas del 50 y 60, poscen por lo tanto un alto nesgo ante eventos de esta naturaleza

#### REFERENCIAS

- 1.- Catálogo de Terremotos para America del Sur, datos de hipocentros e intensidades para Fenador CERESIS (Centro Regional de Sismología para América del Sur) 1985.
- 2.- Rufilli Arnaldo, Lecciones de estructuras; los terremotos de Guayaquil. 1949
- 3.- Mera Walter. Red Nacional de Acelerógrafos, reporte final del proyecto presentado al CONUEP. Universidad Católica de Santiago de Guayaquil, Instituto de Investigaciones de la Facultad de Ingenieria, 1994.
- 4.- Mariduena Lorena, Mendoza Ginger, Merizalde José Microzonificación Sismica de un sector de la ciudad de Guayaquil. Trabajo de grado presentada a la Facultad de Ingeniería de la Universidad Católica de Santiago de Guayaquil. 1992.
- 5.- Villacrés Alex. Análisis de acelerogramas registrados en Guayaquil y sus aplicaciones prácticas en estudios de amenaza alsmica. Presentado a las VII Jornadas de Ingenierla Estructural, Machala, 1993
- 6 Argudo Jaime, Yela Rommel. Microzonificación Sismica de Guayaquil. Presentado a las VIII Jornadas de Ingeniería Estructural. Quito, 1994.
- 7.- Palacios José Determinación de la distribución de los níveles de aceleración en el país y regionalización con fines de prevención sismica. Universidad de Guayaquil, Instituto de Investigaciones y Estudios Avanzados Presentado al CONUEP, 1987.
- 8.- Lara Otón, Valarezo Liha, Chavez Miguel, Serrano Agustin, Aguiar Roberto Estudio de Riesgo Sismico para la central hidroeléctrica de la presa Daule-Peripa. Estudio de Consultoria elaborado por LATSE para CEDEGE, 1982.
- 9.- La Tegola Antonio. Calcolo della pericolosita sismica, aplicazione del modello di Gumbel ai terremoti dell'Ecuador Universidad de La Calabria, Italia, 1991.

GRAFICO No 1.- Ubicación del epicentro del sismo del 13 de Mayo de 1942.

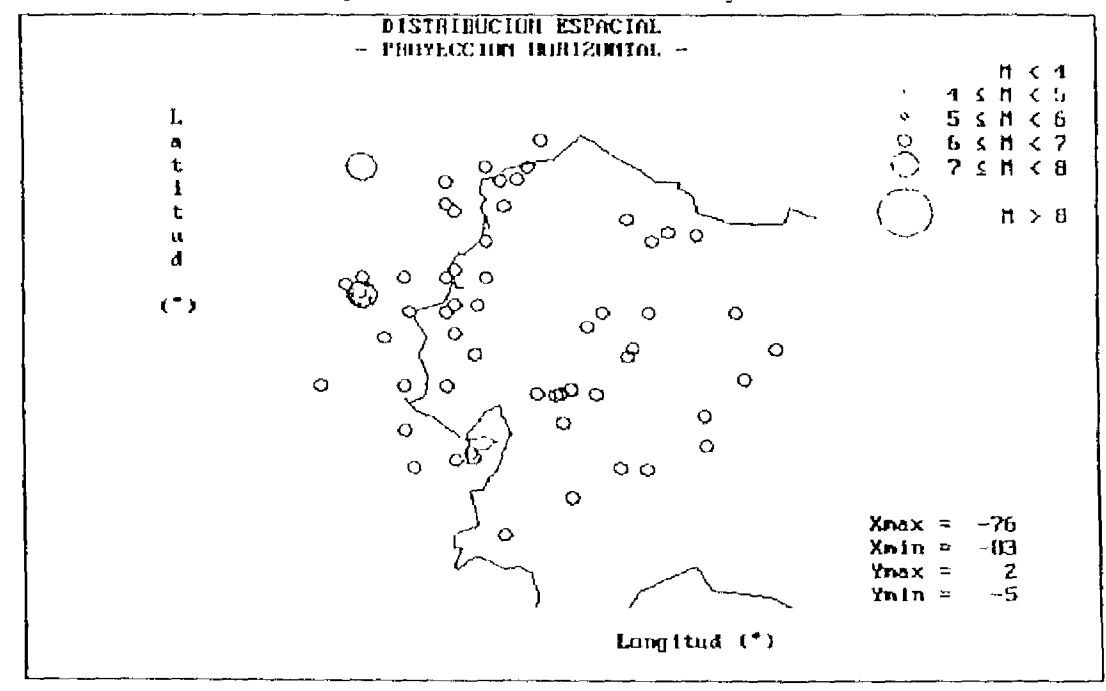


GRAFICO No 2.- Edificaciones con niveles de planta baja mayores a 4 metros. Reducción de la rigidez por efecto de alta esbeltez en columnas. Guayaquil actual.

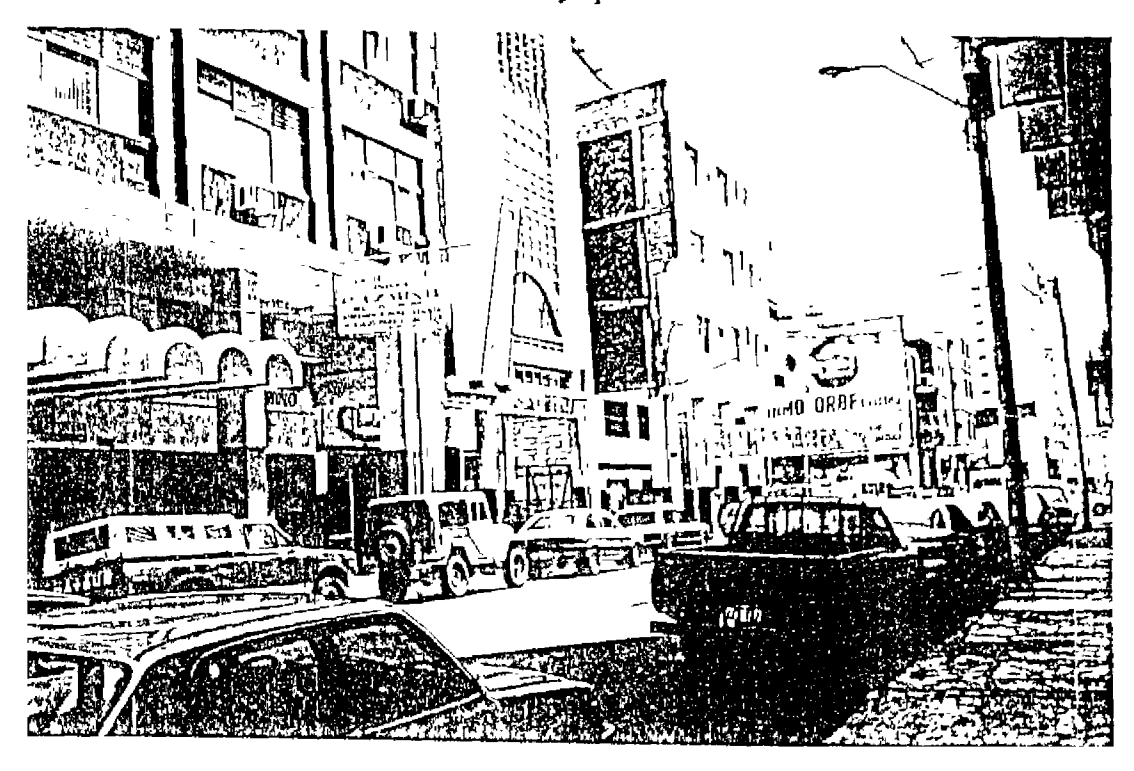
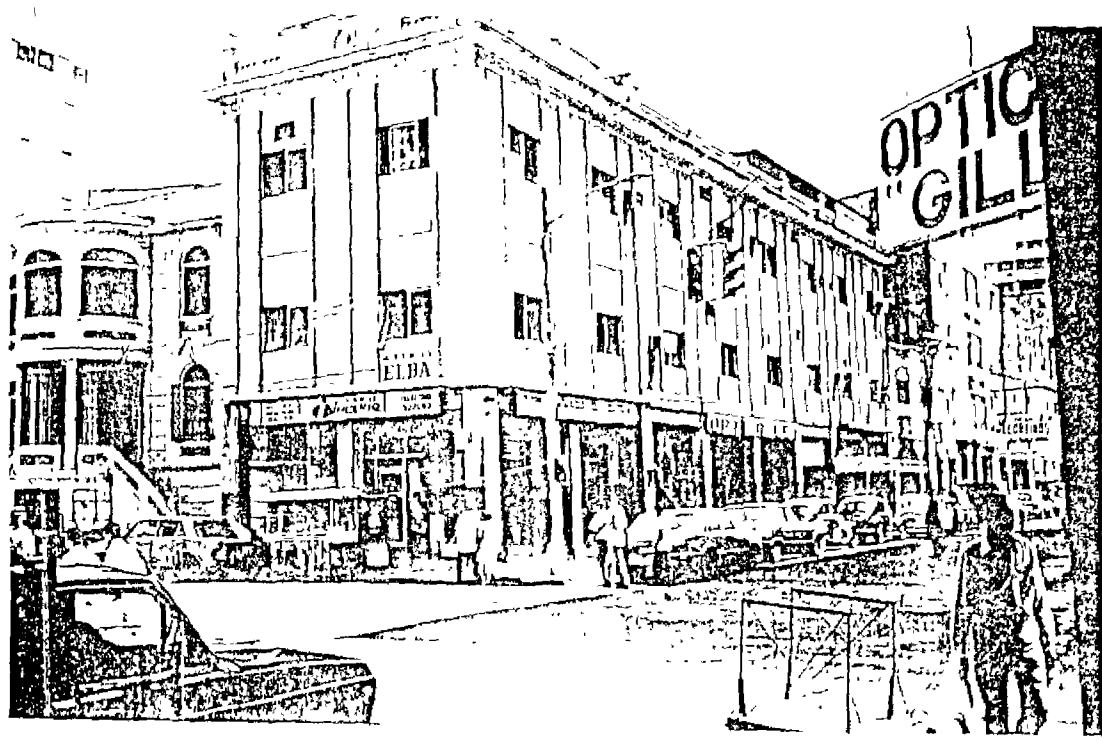


GRAFICO No 3.- Uso comercial de los niveles de planta baja en Guayaquil. Reducción de la rigidez por ausencia de paredes. Guayaquil actual.





CRAFICO No 4.- I finites de la IIIa zona de Rufilli (intenvidad IX en la escala de Mercalli). Obiención de los perfiles estratigráficos mencionados en este estudio y de la estación accherográfica de Avenida del Ejercito (RNA, Universidad Carólica de Ginyaquit).

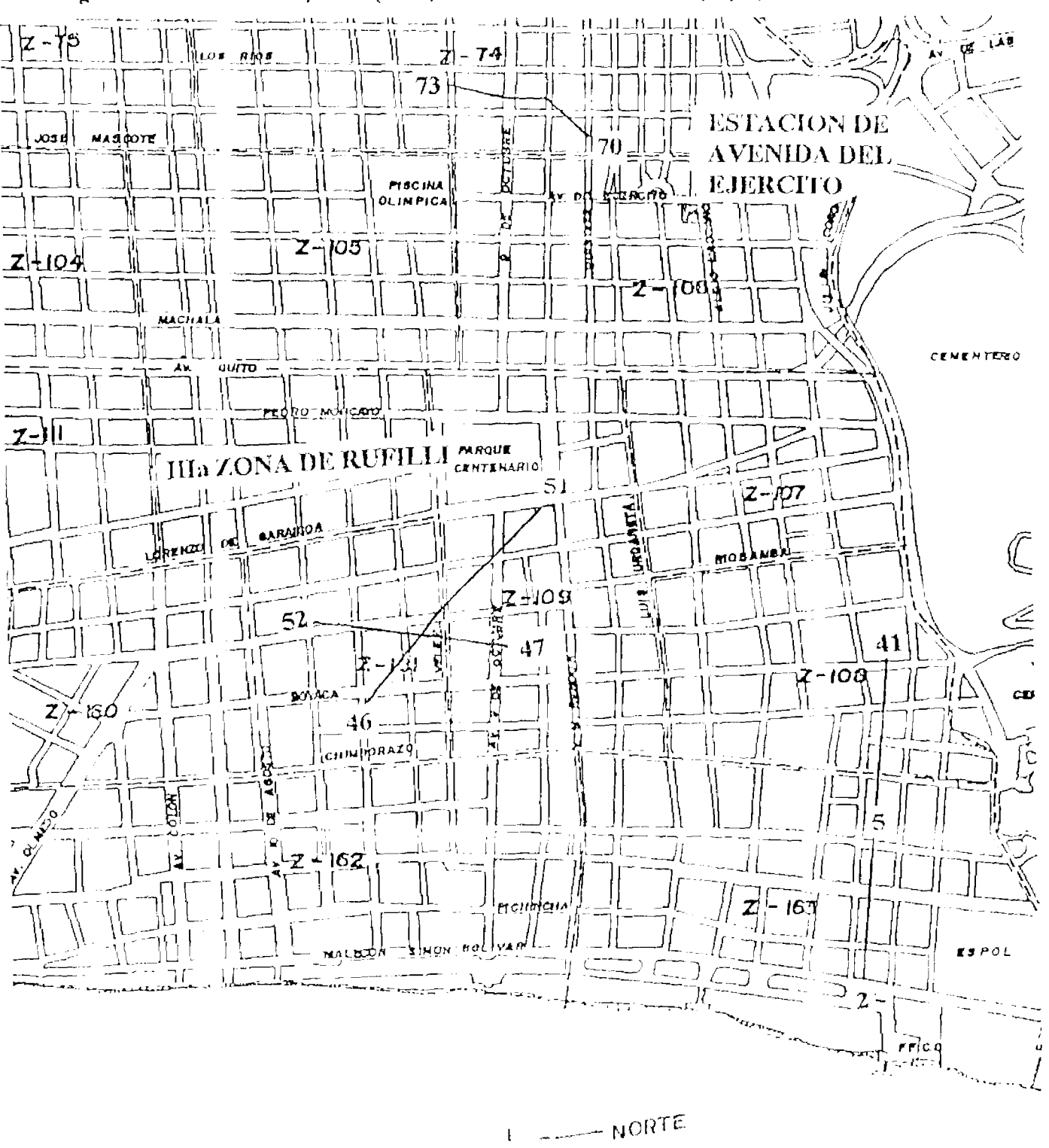
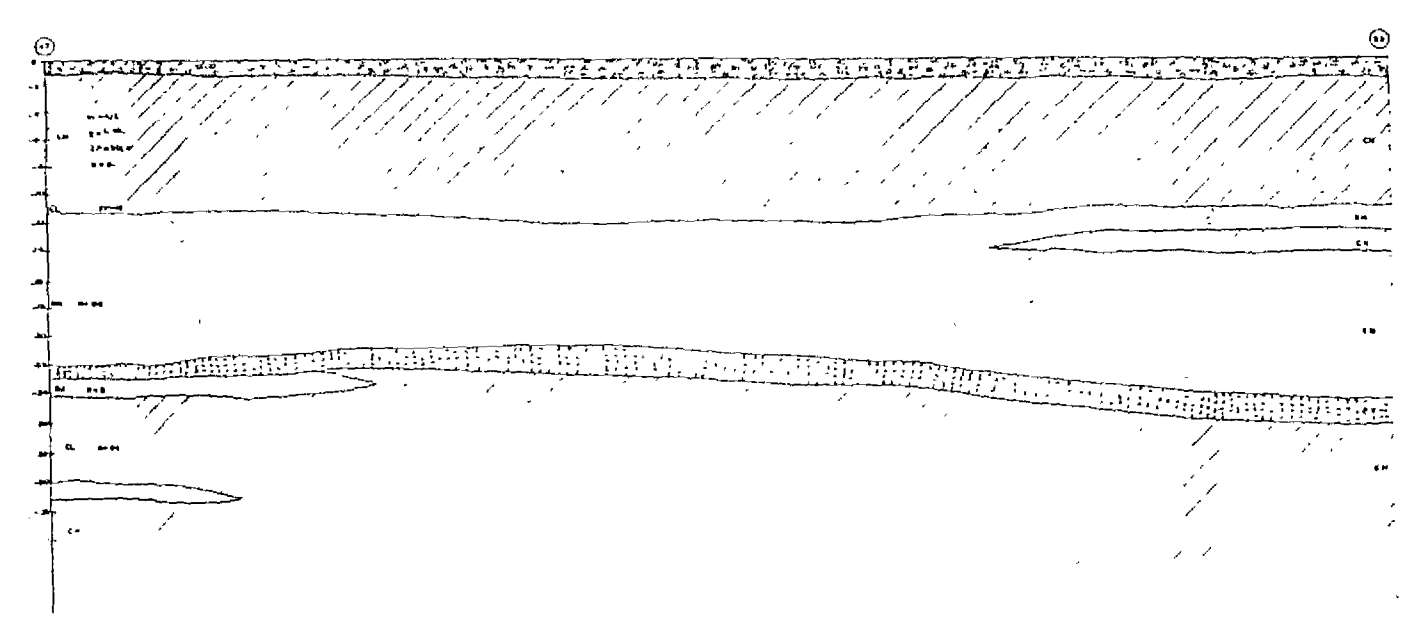
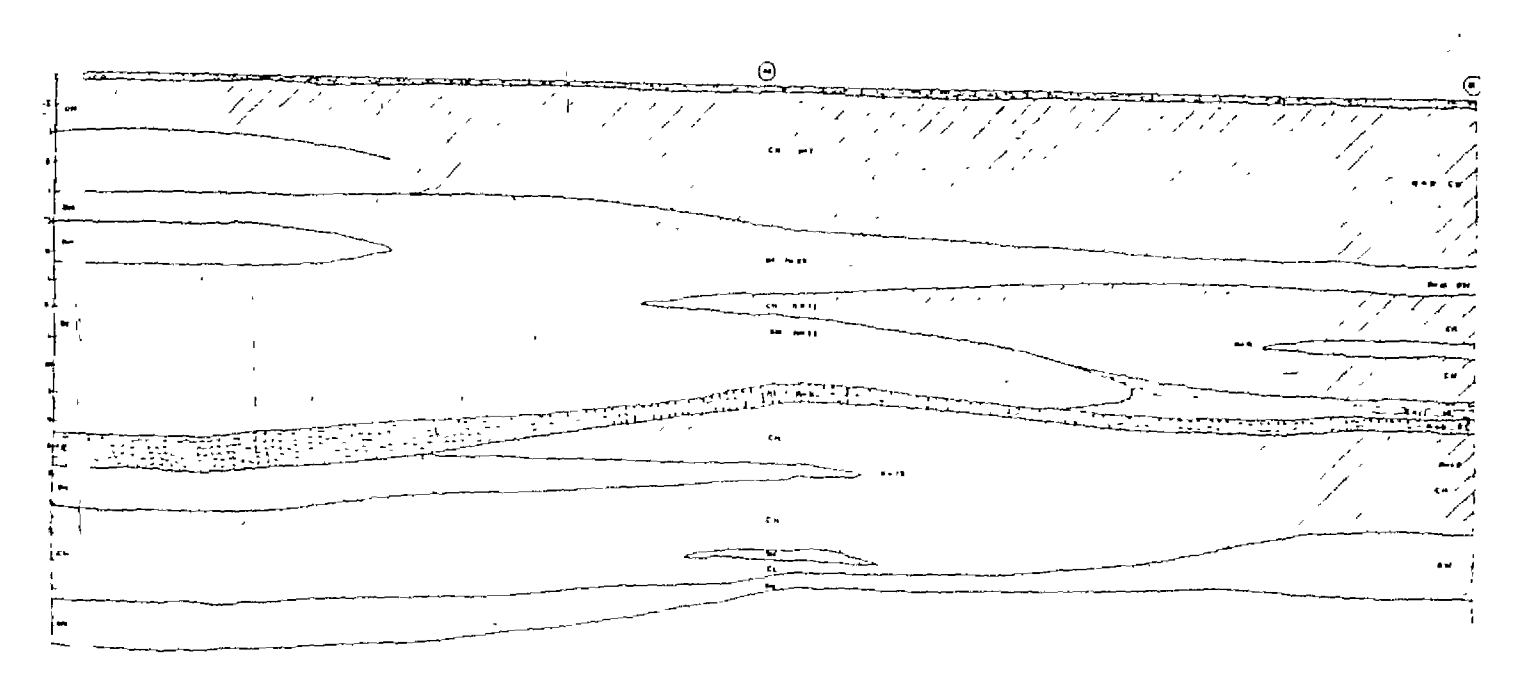


GRAFICO No 5.- Perfil estratigráfico 47-52. Representativo de la IIIa zona.



Tomado de 'Microzonificación sísmica de un sector de la ciudad de Gunyaquil' (Maridueña et al.)

GRAFICO No 6.- Pertil estratigráfico 46-51. Representativo de la IIIa zona.



l'omado de 'Microromficación sísmica, de un sector de la ciudad de Guavaquil' (Mariduena et al.)

GRAFICO No 7.- Per fil estratigráfico 70-73. Representativo del sector de la estación de Avenida del Ejercuto.

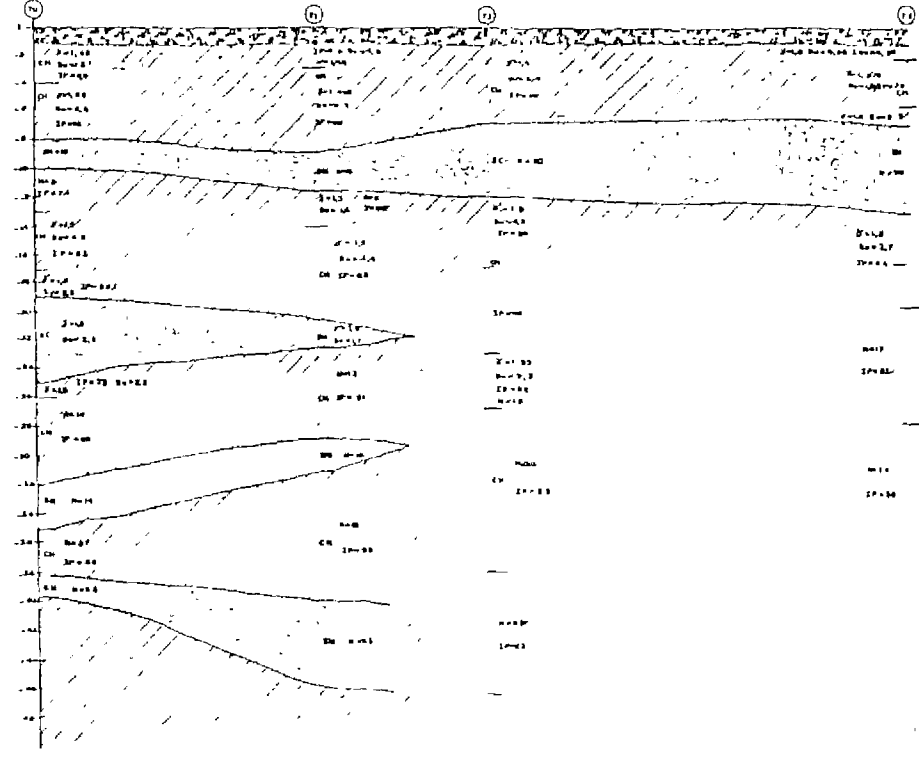
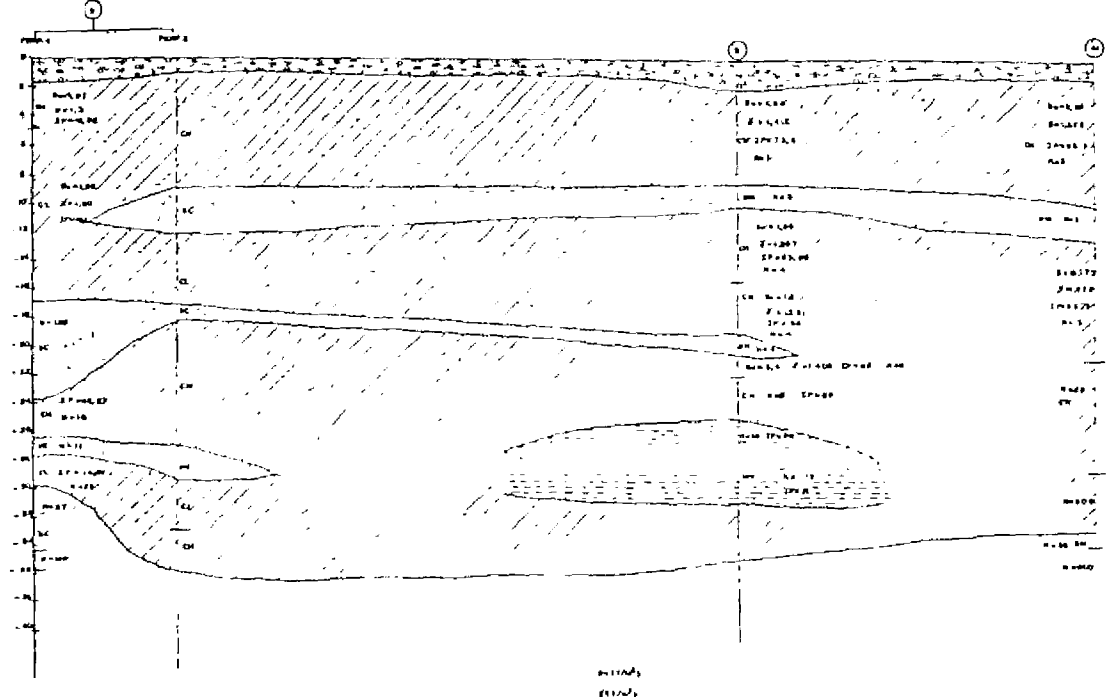


GRAFICO No 8.- Perfil estrafigráfico 2-5-41. Representativo del sector entre la IIIa zona y las estribaciones de los cerros del Carmen y Santa Ana.



Tomado de 'Microzonificación sismica de un sector de la ciudad de Guavaquil' (Maridueña et al.)

GRAFICO No 9.- Espectro de Fourier de la aceleración del suelo de la ciudad en la estación de Avenida del Ejercito durante el evento de Septiembre de 1990.

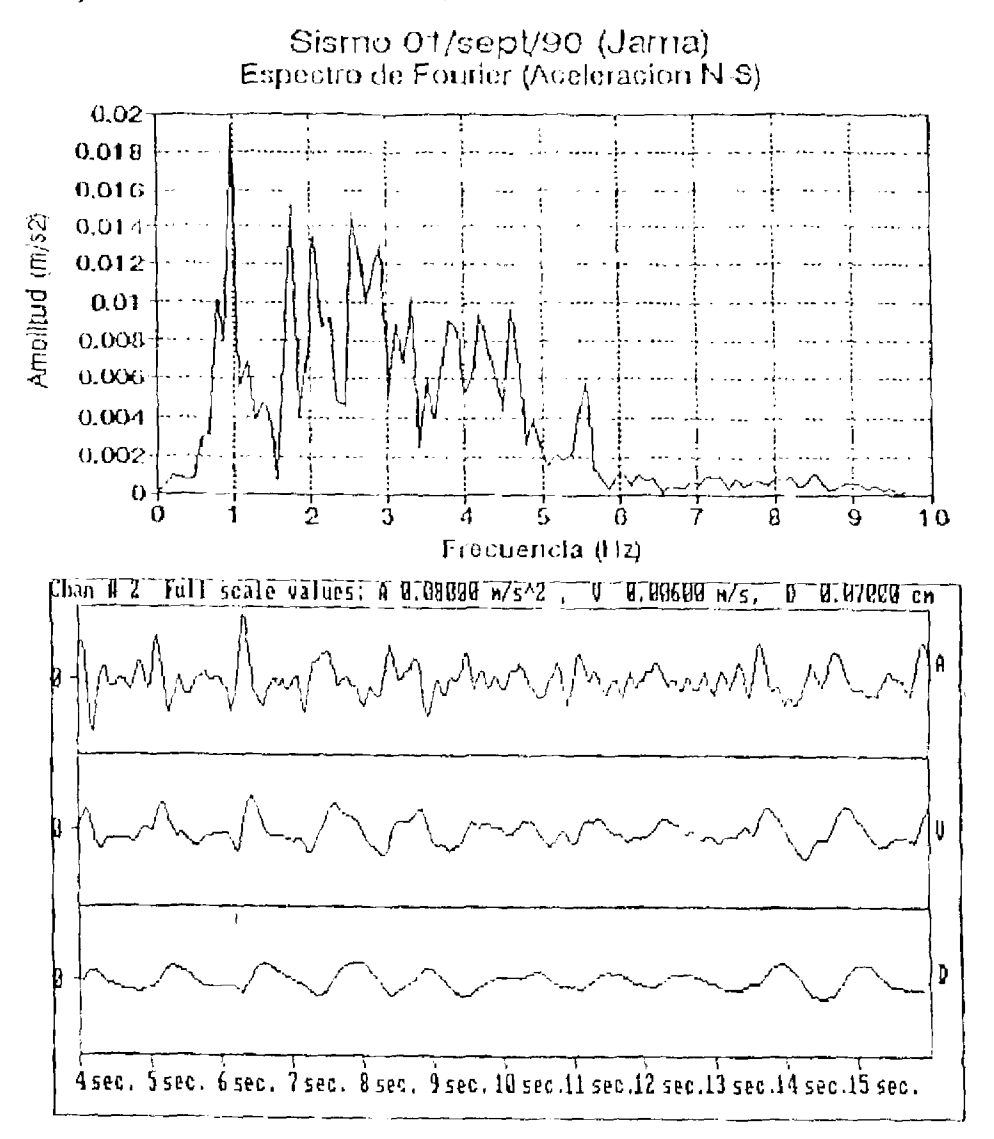
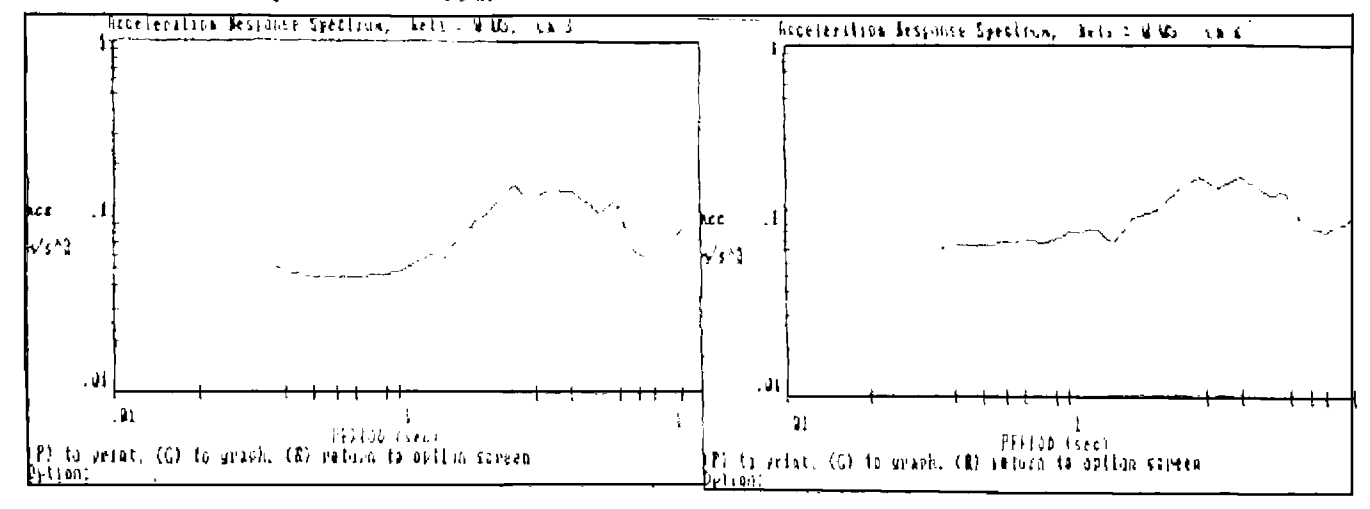


GRAFICO No 10.- Espectros de respuesta de un sistema de un grado de libertad con 5% de amortiguamiento para la aceleración del suelo en la estación de Avenida del Ejercito durante el evento de Septiembre de 1990.



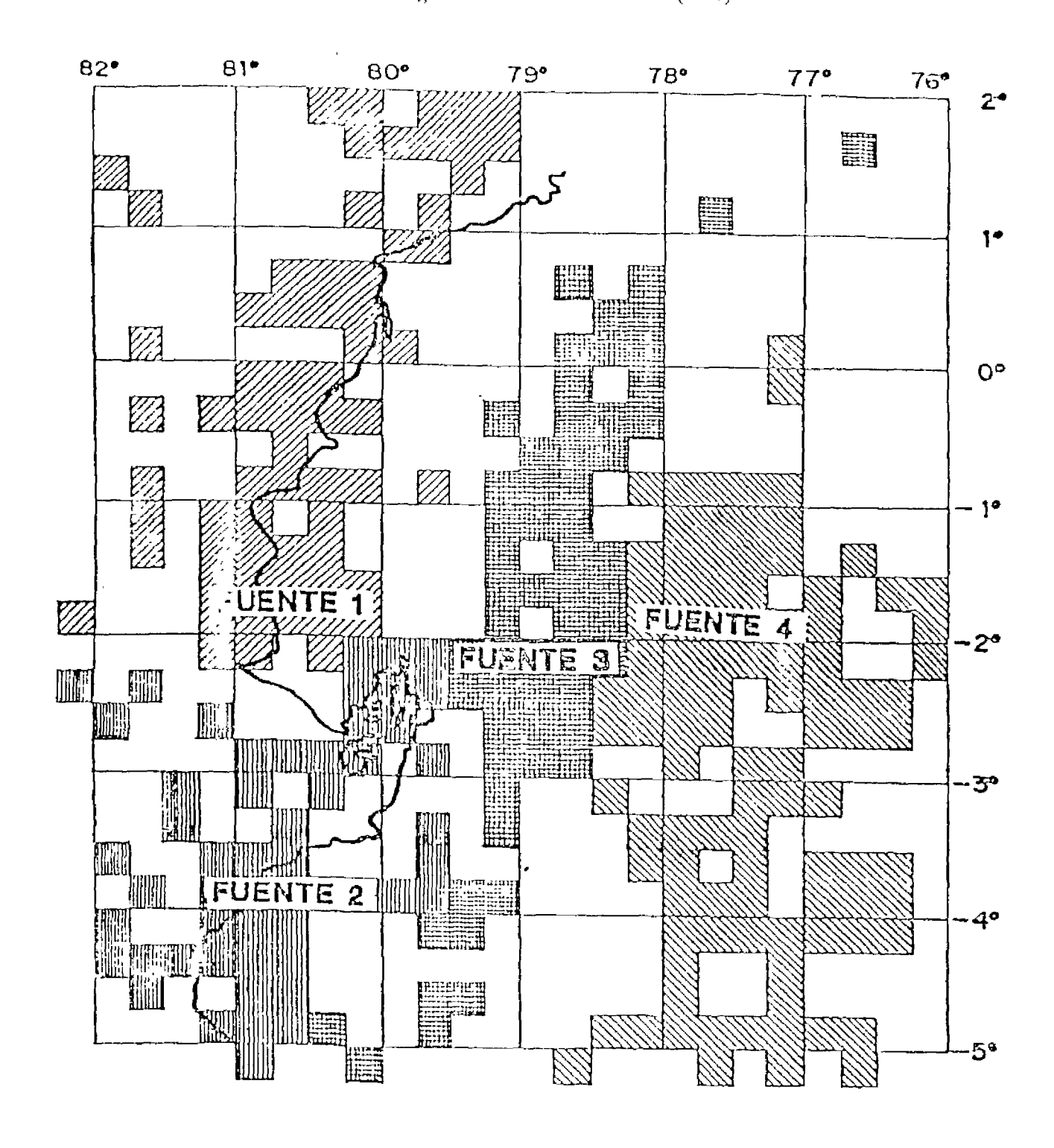
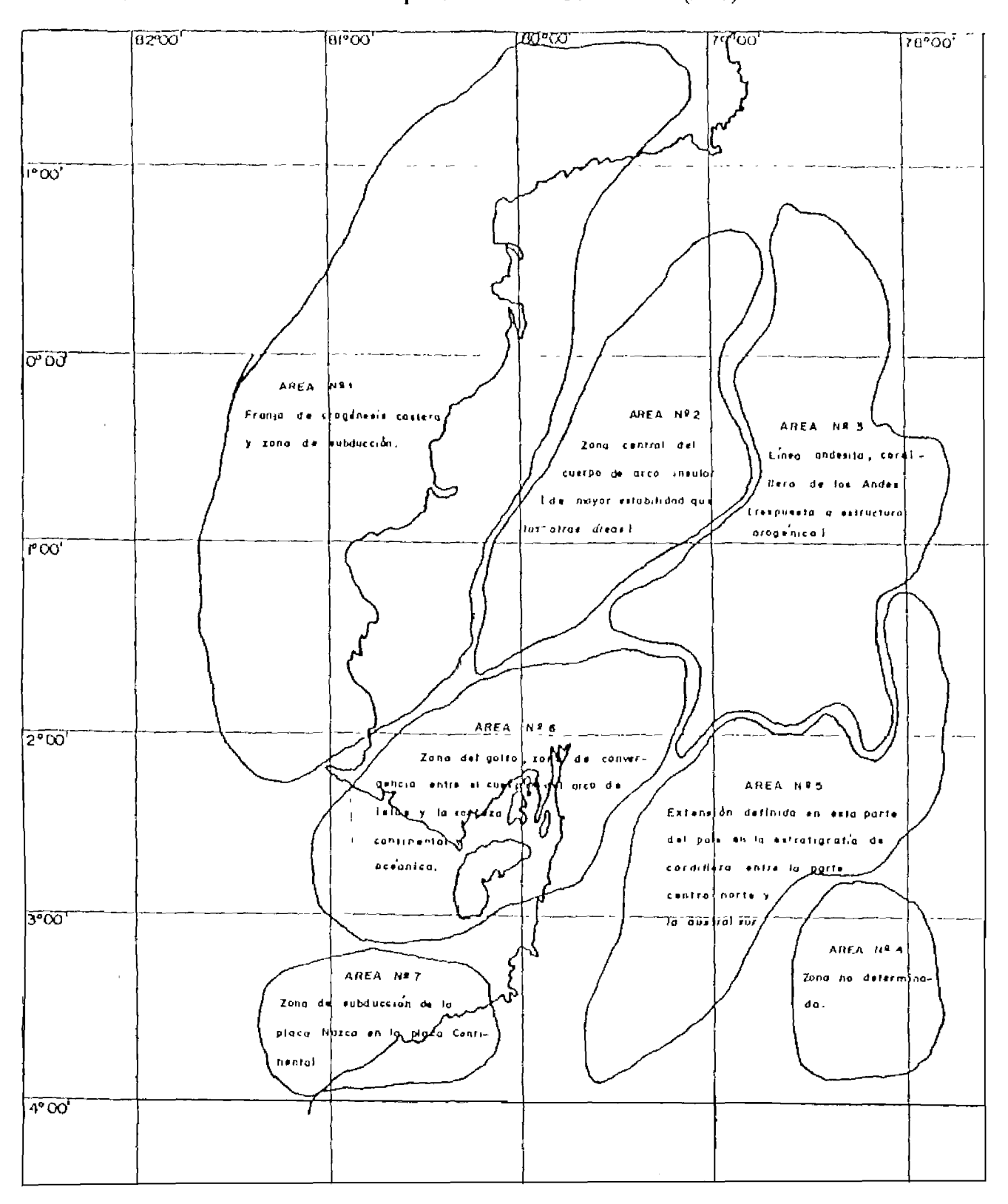
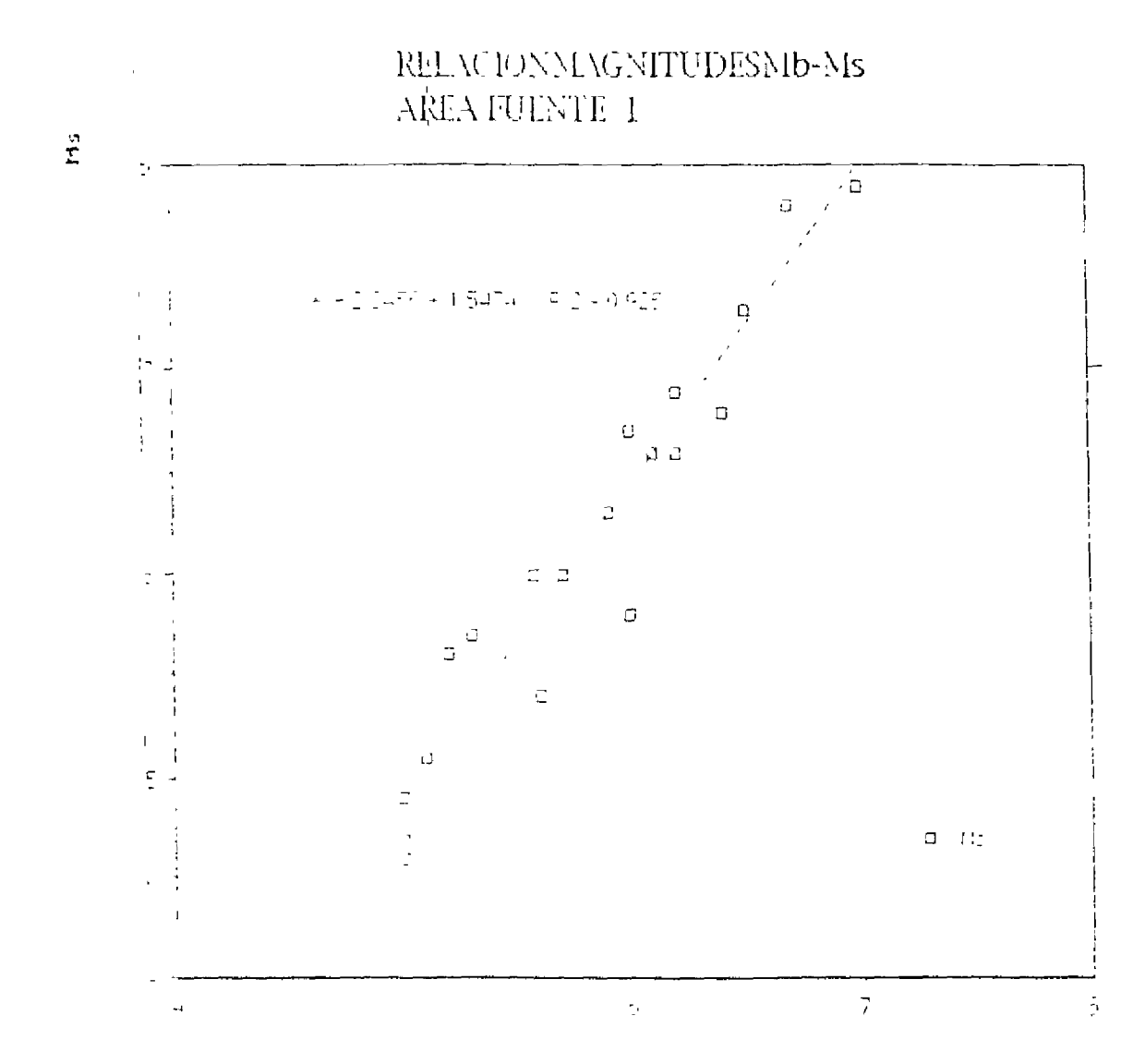


GRAFICO No 12.- Area Fuente I definida por O. Lara et al. en su estudio (ref 8)





## ANEXO 4:

ANALISIS TEORICO Y EXPERIMENTAL PARA DEFINIR UNA FORMULA SIMPLE PARA LA DETERMINACION DEL PRIMER PERIODO DE VIBRACION DE EDIFICIOS DE CONCRETO ARMADO EN GUAYAQUIL PONENCIA PUBLICADA EN LAS IX JORNADAS DE INGENIERIA ESTRUCTURAL Y SISMORESISTENTE EN LA ESPE, QUITO-ECUADOR MAYO 1995

# ANALISIS TEORICO Y EXPERIMENTAL PARA DEFINIR UNA FORMULA SIMPLE PARA LA DETERMINACION DEL PRIMER PERIODO DE VIBRACION DE EDIFICIOS DE CONCRETO ARMADO EN GUAYAQUIL

<sup>1</sup> Antonio La Tegola

<sup>2</sup> Walter Mera

#### ABSTRACTO

Usando la técnica de la vibración ambiental con instrumentos y programas de computación apropiados, se ha obtenido el primer período de vibración en las dos direcciones principales de 36 edificios de hormigón armado en la ciudad de Guayaquil

Todos los datos obtenidos de estas mediciones ban sido tratados usando las expresiones empiricas de varios Códigos, obteniendo el parámetro numérico de la aplicación de dichas expresiones empiricas

Todos los parámetros encontrados de cada expresión fueron procesados estadísticamente, encontrando la mejor relación que se ajuste al coeficiente óptimo De la comparación entre los resultados teóricos y los experimentales de 7 edificios, se muestra la contribución de los elementos no-estructurales, la cual no puede ser despreciada

# INTRODUCCION

Para obtener la respuesta sismica de estructuras, es muy importante la determinación del período natural de dichas estructuras

El período natural es evaluado teóricamente con referencia solo a la rigidez de la estructura, pero el período real es generalmente desconocido debido a la presencia de los elementos no-estructurales, los cuales en diferentes maneras, contribuyen a la rigidez efectiva de la estructura

Dichos elementos influyen en la estructura de diferentes maneras, dependiendo de su propia tipologia y tienen una gran influencia en edificios con poco número de pisos

Desafortunadamente, el análisis para la determinación teórica del período natural tomando en cuenta la contribución de los elementos no-estructurales a la rigidez de la estructura está restringido debido a la dificultad en modelar la estructura o debido al gran tiempo de computación que esto involucia

Se han propuesto varias expresiones empíricas para la determinación del primer periodo de estructuras, sin embargo el periodo teórico asi calculado es siempre mayor que el verdadero periodo, con la desventaja de escoger fuerzas sismicas

menores de un espectro de respuesta, por lo tanto temendo factores de seguridad menores

El alcance de este trabajo es de tomar los resultados de una investigación experimental previa, en la cual el primer período de vibración de 36 edificios de hormigón armado ha sido determinado con una técnica particular (medición de la vibración ambiental) y con estos resultados la evaluación de las limitaciones de las expresiones empíricas propuestas por diferentes Códigos ha sido realizada

Para algunos de los edificios de hormigón armado medidos, se ha realizado un análisis teórico el cual permite la introducción de coeficientes de corrección en las expresiones empíricas

Para obtener mejor resultados, los edificios han sido adicionalmente clasificados de acuerdo a su uso o destino, porque a más de los elementos estructurales resistentes, los elementos no-estructurales tienen una notable influencia

Usando las varias expresiones propuestas en los diferentes Códigos, se ha seleccionado la expresión que mejor se ajusta a los valores experimentales, modificando los parámetros numéricos y usando herramientas estadísticas, haciendo referencia al 95% del nivel superior de confiabilidad (lower percentile p. 5%)

# RESULTADOS EXPERIMENTALES

Los análisis experimentales han sido elaborados usando la técnica de la medición de la vibración ambiental. A continuación se presenta una descripción del equipo y los programas usados

Para determinar los períodos de vibración de 36 edificios y diferentes suelos de Guayaquil, se ha utilizado un equipo Kinemetries (el SSR-1), el cual consiste de un registrador de eventos sísmicos que registra eventos en memoria solida RAM y de tres sensores (SS-1), los cuales son sismómetros de periodo corto que operan en modo horizontal o vertical y registran con un muestreo de 100 sps

Seleccionando los parametros apropiados, el SSR-1 puede registrar continuamente la señal que proviene de los sensores, la cual consiste en los pequeños desplazamientos de las estructuras causados por la vibración ambiental (viento, tratico, máquinas, etc.) y también los causados por los microtemblores. Los sensores son colocados en la parte superior de los edificios y son orientados en las dos direcciones principales ortogonales de la estructura (ejes. 1. y. 2). Adicionalmente, se toma la medición de la vibración ambiental en la base del edificio para determinar el periodo natural de vibración del suelo. El tiempo promedio de registro en cada caso es de tres a cinco minutos. Las señales registradas son guardadas en un computador para su procesamiento posterior.

Luego de que se ha realizado la medición de la vibración ambiental, los registros son recuperados del SSR-1 usando un computador portátil y son procesados con un programa de computación apropiado para el cálculo de la Transformación de Fourier (FFT) de la señal. Este proceso matemático permite la transformación de la señal obtenida, del dominio del trempo al dominio de la frecuencia. También se determina la Función de Densidad Espectral de Potencia, y ambos procedimientos conducen al cálculo de la frecuencia natural de vibración de la estructura medida, ya sea un edificio o el suelo. El inverso de la frecuencia natural es el período natural de vibración de dicha estructura.

El período natural así calculado es realmente el período verdadero de la estructura, como fue demostrado (A. La Tegola, W. Mera, 1994, Ref. 4) y que no es influenciado por el período del suelo.

Las características de los edificios medidos, destinación o uso, tipo de estructura, características geometricas de la base y los periodos medidos, son presentados en la Tabla 1. En esta Tabla, el período teórico de algunas de las estructuras está presentado en las dos últimas columnas para los edificios que se pudo obtener el diseño estructural.

#### **EVALUACION NUMERICA**

Todos los datos de los resultados experimentales son usados en las diferentes expresiones empiricas propuestas por varios Códigos, y en particular aquellos que a continuación se presentan

Del Código Italiano

$$T = \alpha \ (H/\sqrt{L}) \tag{a}$$

$$T = \alpha (H/\sqrt{L}) \sqrt{(H/(H/L))}$$
 (b)

$$\perp \alpha (H/\sqrt{1}) \sqrt{(H/(H+2L))} \qquad (c)$$

Del Uniform Building Code (U.B.C.) de California

$$T = \alpha \cdot (\Pi/\sqrt{L}) \tag{a}$$

$$1 \alpha N$$
 (d)

y del Eurocode EC8\_

$$T = \alpha N$$
 (d)

$$T = \alpha \left( \frac{11}{\sqrt{L}} \right) \sqrt{\left(\frac{11}{11 + L}\right)}$$
 (b)

$$T = \alpha H^{3.4}$$
 (e)

en los cuales

T es el primer período natural en la dirección de análisis en seg

11 es la altura del edificio en metros

L es la base del edificio en la dirección de análisis en metros

TABLA 1

Edificio	Uso	Fstruc	N.Piso	11 (m)	L1 (m)	1.2 (m)	$\mathbf{r}_{\mathbf{i}}$	Т2	Ttt	T2t
							seg	seg	seg	seg
La Previsora	Banco	Concret	35	132 U	60.0	30.0	00.1	2 25	1.89	2 25
Pornan	Oftenia	Concret	29	104 4	38.7	16.2	1 60	2.30		
I Merced	Oficina	Concret	28	100/8	31.5	17 I	1.38	2 24		
Fortin	Viviend	Concret	26	93.6	31.5	16.2	1,58	2.34		
S Francisco	Olicina	Concret	25	90 0	39.6	36 9	2 07	2.15		
MAG	Oficina	Concret	25	90 0	28 8	23.4	1 99	2 07		
l mansur	Oficina	Concret	24	86 4	40.0	15 0	1.38	2 15		
liduanto	Oficina	Concret	23	82.8	34.2	17 1	1.70	2 35		
Valra	Oficina	Concret	21	75 6	43.2	21.6	1 17	1 55	1 46	1.71
Huancavilea	Oficina	Concret	20	72 1	20.7	184	1 35	1 63		
l a Moneda	Otiema	Concret	19	68.4	270	23 4	1 00	1.54		
Beo Pacifico	Banco	Concret	17	61.2	45 0	22 5	1 22	1.45		
Baimoral	Viviend	Concret	15	54.0	23.1	16.8	0.53	0.71		
Sol Oriente	Hotel	Concret	14	47.9	198	92	0.93	131		
Sta Marta	Viviend	Concret	14	47 9	37.2	14.5	0.80	1 02		
Veneum	Viviend	Concret	14	47 9	28 9	15.2	0.70	0.93		
Rocasa	Oficina	Concret	13	44.5	32.1	19.2	1/03	1.12		
Souvin	Oficina	Concret	12	411	27.0	14.4	0.80	0.81	1.48	1.73
Alcar	Olicana	Concret	12	411	19.5	12.8	0.80	0.80		
Parlamento	Oficina	Concret	12	41 I	18.2	6.3	0.77	1.13		
P Continent	Parque	Concret	11	37.6	34 2	28 8	0.87	1.10	1.10	1 35
Astilleto	Viviend	Concret	11	37.6	24.2	18.6	0.59	0.92		
MCO	Viviend	Concret	10	11.2	22.1	12.5	0.77	0.94		
Oro Verde	Hotel	Concret	10	312	51.5	26-8	0.67	0.77		
EM Alcivai	Olicina	Concret	9	29 [	11.1	12.6	0.70	0.75	E40	143
Bonds	Olicina	Concret	8	25.9	13.5	12.6	0.70	0.80	1 18	1.76
l Bohyar	Viviend	Concret	8	25 9	27 1	12.6	0.71	0.74		
Рапаменсав	Hospit	Concret	7	23.9	36.9	22 5	0.42	0.71		
San Agustin	Ойста	Concret	6	19.4	21.6	14.4	0.54	0.57		
Solca	Hospit	Concret	5	16.2	43.5	214	0.40	0.50		
Pst Capwell	Estadio	Concret	5	16.2	28 2	14.6	0.35	0.39		
C C Colon	Colegio	Concret	4	13.0	32.4	19.8	0.59	0.61		
Hosp II/SS	Hospit	Concret		13.0	65 6	24 2	0.40	0.41		
Clin Alcivai	Hospit	Concret	4	13 0	39.6	29.7	0.39	0.40	0 72	0.83
Col. San Jose	Colegio	Concret	4	13.0	29.2	15.3	0.34	0.34	0 /2	UBS
UCSG	Univers		4	13.0	52.5	11.5				
			т	1,0	26.3	117	0.27	0.31		

El coeficiente  $\alpha$  de los varios Códigos en las diferentes expresiones experimentales asume diferentes valores. Para todos los edificios medidos y para todas las expresiones empíricas propuestas, los correspondientes coeficientes  $\alpha$  han sido calculados y son reportados en la Tabla 2

1	l, V	$\mathbf{D}$ 1	LA.	7
	I / N	131	/ \	_ Z.

Editicio	(a) I	(4)2	(b)1	(b)2	(c)1	(c)2	(d)1	(d)2	(c)1	(e)2
La Previsora Formo									0 041 0 049	

S. Francisco	0.145	0.145	0.174	0.172	0.198	0.196	0.083	0.086	0.071	0.074
MAG	0.119	0.111	0.136	0.125	0.152	0.137	0.080	0.083	0.068	0.071
Linansur	0.101	0.096	0.122	0.104	0.140	0.112	0.058	0.090	0.049	0.076
Induauto	0.120	0.117	0.143	0.129	0.162	0.140	0.074	0.102	0.052	0.086
Valia	0.102	0.095	0.128	0.108	0.149	0.119	0.056	0.074	0.046	0.060
Huancavile	0.085	0.096	0.097	0.108	0.107	0.118	0.068	0.082	0.055	0.086
La Moneda	0.076	0.109	0.090	0.126	0.102	0.141	0.053	0.081	0.042	0.065
Beo Pacifico	0.134	0.112	0.176	0.131	0.210	0.148	0.072	0.085	0.056	0.066
Balmoral	0.047	0 054	0.056	0.062	0.064	0.069	0.035	0.047	0 027	0.036
Sol Oriente	0.086	0.083	0.103	0.091	0.117	0.098	0.066	0.094	0.051	0.072
Sta Marta	0.102	0.081	0.135	0.093	0.163	0.103	0.057	0.073	0.044	0.056
Venecja	0.079	0.076	0.099	0.087	0.117	0.097	0.050	0.066	0.038	0.051
Rocasa	0.131	0.110	0.172	0.132	0.205	0.151	0.079	0.086	0.080	0.065
Souvm	0.101	0.075	0.130	0.087	0.154	0.098	0.067	0.068	0.049	0.050
Alcar	0.086	0.070	0.104	0.080	0.120	0.089	0.067	0.067	0.049	0.049
Parlamento	0.080	0.069	0.096	0.074	0.110	0.079	0.064	0.094	0.047	0.070
P Continental	0.135	0.157	0.187	0.209	0.227	0.250	0.079	0.100	0.057	0.072
Astillero	0.077	0.106	0.099	0.129	0.117	0.149	0.054	0.084	0.039	0.061
NCO	0.107	0.097	0.137	0.114	0 162	0.128	0.077	0.094	0.054	0 066
Oro Verde	0 141	0.117	0.223	0.156	0.262	0.187	0.067	0.077	0 047	0.054
I M Alutvar	0.139	0.091	0.203	0.110	0.252	0.125	0.078	0.083	0.056	0 060
Bonds	0.099	0.110	0.122	0.134	0.142	0.154	0.088	0.100	0.061	0.070
T Bolivai	0.143	0.101	0.204	0.124	0.251	0.142	0.089	0.093	0 062	0.064
Раналистовы	0.107	0.141	0.170	0.169	0.216	0.239	0.060	0 101	0.039	0.066
San Agustin	0.129	0.111	0.188	0.147	0232	0.176	0.090	0.095	0.058	0.062
Solca	0.163	0.143	0.313	0.218	0.411	0.272	0.080	0 100	0.050	0.062
Lat Capwell	0.115	0.092	0.190	0.127	0.213	0.151	0.070	0.078	0.013	0.002
C. C. Colon	0.258	0.209	0.483	0.332	0.632	0.420	0.148	0.151	0.086	0.089
Hosp II SS	0.249	0.155	0.813	0.262	0.830	0.337	0 100	0.103	0.058	0.060
Clin Alcivar	0 189	0 168	0.380	0.304	0 503	0 396	0 098	0 100	0.057	0.058
Col. San Jose	0 141	0 102	0 255	0 151	0 331	0 187	0.085	0.085	0.057	0.050
UCSG	0.150	0.081	0.338	0.131	0.453	0.135	0.068	0.083	0.039	
		0.001	0 110	0 111	(/ 4./)	W LIJ	0.000	0.076	0.019	0.045

### ANALISIS DE RESULTADOS

Para evaluar el parametro  $\alpha$ , se ha realizado un procedimiento estadístico calculando el valor promedio de n muestras y la desviación estándar cuadratica :

$$\mu_{\alpha} = \sum \alpha_{\tau} / n \qquad \qquad \delta_{\alpha} = \sqrt{\sum (a_{\tau} - \mu_{\alpha})^2 / (n-1)}$$

Por lo tanto se propone los diferentes valores de  $\alpha$  con referencia al lower percentile p=5%

$$\alpha = \mu_{\alpha} - t(p,n) \delta_{\alpha}$$

en el cual ((p,n) es el Coeficiente de Student

En el caso examinado, para propositos estadísticos, han sido considerados 2x29=58 valores del coeficiente α relacionado a 29 edificios que pueden ser asumidos como pertenecientes a una población homogenea

En la Tabla 3 se muestra los valores estadísticos del parámetro  $\alpha$  de las diferentes expresiones

FORMULA	(a)	(b)	(c)	(d)	(e)	
Valor Promedio	0.102	0 127	0.147	0.075	0.058	
Desviae chadratica media	0.024	0.038	0.050	0.016	0.012	
Lower percentile at 5%	0.064	0.064	0.064	0.049	0.038	

De las expresiones empineas diferentes, la que mejor se ajusta con los resultados experimentales es la expresión tipo (b), la cual permite la evualuación teórica del período de la estructura en las dos direcciones principales del edificio considerando los parámetros II y L. Estas expresiones presentan la menor dispersión de los valores como se muestra en las figuras del anexo 1.

#### CONCLUSIONES

La revisión de los resultados experimentales revela que la expresión empírica que mejor se ajusta a la evualación teorica del primer periodo de vibración de estos edificios es

# T= 0 064 (H/ \(\frac{1}{1}\) \(\frac{1}{1}\) (H/(H+L))

Esta expresión es tomada de varios Códigos, y en particular del Eurocode EC8, para edificios en los cuales la presencia de paredes o particiones es considerada las evidente que debido a la contribución al comportamiento dinámico de los elementos no-estructurales, un incremento importante en la rigidez de la estructura es obtenido, el cual resulta en períodos menores que aquellos calculados con respecto a la rigidez de la estructura sola

Es importante mencionar que en la expresión del Eurocode EC8 el valor dado para el coeficiente α es 0.080, este valor corresponde al valor del lower percentile p=15.6%. Por lo tanto, con este cruerio, generalmente se considera que el primer período de vibración de la estructura será mayor que el período real y en consecuencia las aceleraciones sísmicas que son tomadas de la porción derecha del espectro de respuesta resultan en valores menores.

#### REFERENCIAS

- 1 Eurocode FC8, Redraft, March 1993 Structures in Seismic Regions
- 2 Criteri generali per la verifica delle sicurezza delle costruzioni e del carichi e sovraccarichi 1978 MM LL PP italiano. Norme tecniche per la costruzione in zone sismiche 1986 MM LL PP italiano.
- 3 Uniform Building Code 1991 International Conference of Building Officials, California
- 4 La Tegola A, Mera W, 1994 'Experimental Dynamic Measurement of Tall Buildings with Steel Structures' Stessa 94, Timisoara, Romania
- 5 Mera W 1991 'Vulnerabilidad Sisturca de Guayaquil Determinación de los periodos de vibración de estructuras y de suelos usando la medición de la vibración ambiental riesgo de resonancia' Boletín de la Coordinación de Investigación de la Universidad Catolica de Santiago de Guayaquil N 5

